

Effective mass of ^4He atom in superfluid and normal phases

I. O. Vakarchuk, O. I. Hryhorchak, V. S. Pastukhov, R. O. Prytula

Department for Theoretical Physics, Ivan Franko National University of Lviv,
12, Drahomanov Str., Lviv, UA-79005, Ukraine

Abstract

The expression for the temperature dependence of the effective mass of a ^4He atom in superfluid and normal phases, which is applicable at all temperatures except narrow fluctuation region $0.97 \lesssim T/T_c \leq 1$ and allows to eliminate the infra-red divergences was found. In the high and low temperature limit, as well as in the no interaction limit, obtained expressions give well-known results. Temperature behaviour of the heat capacity and phase transition temperature $T_c \approx 2.18$ were calculated on the base of the received effective mass expression. Using the proposed in this work methods, critical index η was found in random phase approximation; obtained value for critical index reproduce the well-known result of this approach.

1 Вступ

Вперше ідея про те, що перехід рідкого ^4He в надплинний стан пов'язаний з явищем Бозе-Ейнштейнівської конденсації була висловлена Ф. Лондоном [1]. Саме “близькість” температури бозе-конденсації ідеального газу з параметрами гелію до температури переходу в реальному ^4He наштовхнула його на цю здогадку. І хоча таке трактування фазового переходу не позбавлене труднощів [2], але загалом коректно описує сучасні експерименти з холодними газами [3, 4].

До нерозв'язаних до сьогодні проблем в теорії рідкого ^4He можна віднести мікроскопічний розрахунок термодинамічних функцій у всій області температур та температури переходу в надплинний стан, яка б узгоджувалась з експериментальним значенням. На якісному рівні пониження критичної температури обґрунтував Фейнман [5] введенням ефективної маси частинок. Використовуючи інтуїтивні міркування, він дійшов висновку, що ефективна маса внаслідок ефектів взаємодії між частинками повинна бути більшою за масу атомів. Ці висновки справедливі і для двовимірних систем [6]. Хоча існує і конкуруючий механізм. Відштовхування на малих відстанях ефективно збільшує густину системи, а отже збільшує температуру бозе-конденсації, що й підтверджується результатами теоретичних розрахунків [7, 8, 9, 10, 11] та Монте Карло симуляцій для моделі слабонеідеального бозе-газу [12, 13]. Для узгодження експериментальних результатів для ^4He на вайкорі з теоретичними розрахунками доводиться одночасно враховувати як ефект перенормування маси атомів, так і зсув пов'язаний з відштовхувальною частиною взаємодії між частинками [14].

В літературі переважно аналізувалось значення ефективної маси при низьких температурах [15, 16, 18, 19, 17], а в роботах [20, 21] за допомогою варіаційного підходу отримана і температурна залежність. Властивості гелію в нормальній фазі досліджувались в статтях [22, 23], де для узгодження розрахованих структурних функцій з експериментальними кривими була використана ефективна маса частинок як підгоночний параметр. В роботі [24] показано спосіб розрахунку ефективної маси атома ^4He в рідині, яка дозволяє усунути інфрачервоні розбіжності, що є характерними для теорії фазових переходів. Недоліком запропонованого в цій роботі підходу є слабообґрунтований спосіб екстарополяції “затравочної” ефективної маси на широку область температур

(лише на основі її виразу для нуля температур), а також некоректна поведінка отриманої величини ефективної маси в критичній області. Інший підхід до розрахунку ефективної маси був запропонований в роботі [25], де з її допомогою було знайдено температурну поведінку теплоємності і показано значно краще узгодження з експериментальними даними в порівнянні з розрахунком на основі “голої маси”. Однак отриманий у цьому підході вираз для ефективної маси не усуває згадані інфрачервоні розбіжності, оскільки ідеологія його розрахунку не брала до уваги цієї мети.

Завданням цієї роботи є знайти такий вираз для ефективної маси, який би, з однієї сторони, усував інфрачервоні розбіжності, а з іншої— давав коректну поведінку в околі критичної точки (за винятком, хіба що, вузької флуктуаційної області) і був краще теоретично обґрунтований в широкотемпературній області; а також отримати температурну поведінку теплоємності з новою ефективною масою і провести порівняння з попередніми результатами.

2 Загальні викладки

Для розрахунку теплоємності багатобозонної системи ми скористаємося виразом для внутрішньої енергії в наближенні парних кореляцій [24, 25], який можна отримати в результаті усереднення гамільтоніана системи з матрицею густини, знайденої в [26]:

$$E = N \frac{mc^2}{2} + \sum_{q \neq 0} \frac{\bar{\varepsilon}_q}{\bar{z}_0^{-1} e^{\beta \bar{\varepsilon}_q} - 1} + \frac{1}{2} \frac{\bar{m}}{m} \sum_{q \neq 0} \frac{\lambda_q}{1 + \lambda_q \bar{S}_0(q)} \frac{\partial \bar{S}_0(q)}{\partial \beta} + \frac{1}{4} \sum_{q \neq 0} \varepsilon_q (\lambda_q^2 + \alpha_q^2 - 1) S(q) + \frac{1}{2} \sum_{q \neq 0} \varepsilon_q \left[\frac{\alpha_q}{\text{sh}(\beta E_q)} - \frac{1}{\text{sh}(\beta \varepsilon_q)} \right] + \frac{1}{16} \sum_{q \neq 0} \varepsilon_q \left(1 - \frac{1}{\alpha_q^2} \right) \left(\alpha_q - \frac{1}{\alpha_q} - 4\alpha_q^2 \right), \quad (1)$$

де \bar{m} — ефективна маса, $\bar{\varepsilon}_q = \hbar^2 q^2 / 2\bar{m}$, \bar{z}_0 , $\bar{S}_0(q)$ — перенормовані відповідно одночастинковий спектр, активність і структурний фактор ідеального бозе-газу; $E_q = \alpha_q \varepsilon_q$ — спектр елементарних збуджень Боголюбова, $\alpha_q = \sqrt{1 + 2N\nu_q / (V\varepsilon_q)}$ — Боголюбівський фактор, $\nu_q = \int e^{-i\mathbf{q}\mathbf{R}} \Phi(R) d\mathbf{R}$ — Фур’є-образ потенціалу парної міжчастинкової взаємодії $\Phi(R)$, $S(q)$ — структурний фактор бозе-рідини в наближенні парних кореляцій:

$$S(q) = \frac{\bar{S}_0(q)}{1 + \lambda_q \bar{S}_0(q)}, \quad (2)$$

$$\lambda_q = \alpha_q \text{th} \left[\frac{\beta}{2} E_q \right] - \text{th} \left[\frac{\beta}{2} \varepsilon_q \right]. \quad (3)$$

Розподіл бозе-частинок з новим спектром є таким:

$$\bar{n}_p = \frac{1}{\bar{z}_0^{-1} e^{\beta \bar{\varepsilon}_p} - 1}, \quad (4)$$

а сам перенормований одночастинковий спектр $\bar{\varepsilon}_p$ вибраний у вигляді:

$$\bar{\varepsilon}_p = \varepsilon_p + \Delta_p - \Delta_0, \quad (5)$$

де Δ_p — поправка до спектра, яку потрібно визначити. Величина Δ_0 залежить тільки від температури і фактично відповідає за перенормування активності. Після усунення інфрачервоних розбіжностей для Δ_p отримано [24]:

$$\Delta_p = \frac{1}{N\beta} \sum_{\mathbf{q}' \neq 0} \frac{\lambda_{q'}}{1 + \lambda_{q'} \bar{S}_0(q')} \bar{n}_{|\mathbf{p}+\mathbf{q}'|}. \quad (6)$$

Вираз для перенормованого одночастинкового спектра (5) можна записати і в такий спосіб:

$$\bar{\varepsilon}_p = \frac{\hbar^2 p^2}{2\bar{m}(p)}, \quad (7)$$

де величину $\bar{m}(p)$ трактуємо як повну ефективну масу частинки, залежну від модуля хвильового вектора \mathbf{p} . Такий вигляд спектра $\bar{\varepsilon}_p$ був запропонований у праці [27] для усунення інфрачервоних розбіжностей. Нагадаємо, що ефективна маса \bar{m} формується багаточастинковими кореляціями, починаючи з чотиричастинкових і, узагалі кажучи, є залежною від модуля імпульсу p . Зрозуміло, що нас цікавитиме поведінка $\bar{m}(p)$ при $p \rightarrow 0$, і під повною ефективною масою будемо розуміти величину $\bar{m} = \bar{m}(0)$. У зв'язку з цим ми докладніше розглянемо різницю $\Delta_p - \Delta_0$ при $p \rightarrow 0$.

При малих значеннях p перенормований спектр (5) запишемо так [24]:

$$\bar{\varepsilon}_p = \frac{\hbar^2 p^2}{2\bar{m}}, \quad (8)$$

де

$$\frac{m^*}{\bar{m}} = 1 + \frac{1}{2\pi^2 \rho} \int_0^\infty \frac{q^2 \lambda_q}{1 + \lambda_q S_0(q)} \bar{n}_q (1 + \bar{n}_q) \left[\frac{2}{3} \beta \varepsilon_q (1 + 2\bar{n}_q) - 1 \right] dq. \quad (9)$$

В нашій теорії для температурної залежності "затравочної" ефективної маси m^* використовуємо вираз, який знайдено в роботі [25]:

$$\begin{aligned} \frac{m}{m^*} = 1 - \frac{1}{3N} \sum_{\mathbf{k} \neq 0} \frac{(\alpha_k - 1)^2}{\alpha_k (\alpha_k + 1)} - \frac{2}{3N} \sum_{\mathbf{k} \neq 0} \left\{ \frac{\alpha_k^2 + 3}{\alpha_k^2 - 1} [n(\beta \varepsilon_k) - 1/\beta \varepsilon_k] - \right. \\ \left. - \frac{3\alpha_k^2 + 1}{\alpha_k (\alpha_k^2 - 1)} [n(\beta E_k) - 1/\beta E_k] + 2 [1/\beta \varepsilon_k - \beta \varepsilon_k n(\beta \varepsilon_k) [1 + n(\beta \varepsilon_k)]] \right\}. \end{aligned} \quad (10)$$

Тут зроблено наступне позначення: $n(x) = 1/(e^x - 1)$.

Не важко побачити, що розбіжність в критичній точці правої частини рівності (9) "сидить" в підінтегральному виразі в області малих значень хвильового вектора q і є логарифмічною за своєю природою, що буде показано згодом. Така розбіжність є характерною для критичних явищ. Наше завдання полягає в тому, щоб виділити цю неаналітичність і знайти коректний вираз для ефективної маси. Для цього повернемося до рівності, яка впливає з роботи [24]:

$$\frac{m^*}{\bar{m}} = 1 + \lim_{p \rightarrow 0} \frac{\Delta_p - \Delta_0}{\varepsilon_p}, \quad (11)$$

де

$$\Delta_p - \Delta_0 = \frac{1}{N\beta} \sum_{q \neq 0} \frac{\lambda_q}{1 + \lambda_q \bar{S}_0(q)} \{ \bar{n}_{|\mathbf{q}+\mathbf{p}|} - \bar{n}_q \}. \quad (12)$$

З виразу (12) виділимо величину Δ_∞ , яка містить всю неаналітичність і водночас є набагато зручнішою для аналізу:

$$\Delta_\infty = \frac{1}{N\beta} \sum_{q \neq 0} \frac{\lambda_q}{1 + \lambda_q \bar{S}_0(q)} \left\{ \frac{1}{\bar{z}_0^{-1} - 1 + \bar{z}_0^{-1} \beta \bar{\varepsilon}_{|\mathbf{q}+\mathbf{p}|}} - \frac{1}{\bar{z}_0^{-1} - 1 + \bar{z}_0^{-1} \beta \bar{\varepsilon}_q} \right\}. \quad (13)$$

Наступний крок — це знайти розклад Δ_∞ в околі малих значень p і обмежитися доданками пропорційними до p^2 , оскільки лише вони будуть давати вклад у величину ефективної маси в силу рівності (11).

У правій частині рівності (13) перейдемо від підсумовування до інтегрування:

$$\Delta_\infty = \frac{p_0^2 \bar{z}_0}{4\pi^2 \beta \rho} \int_0^\infty \frac{\lambda_q dq}{1 + \lambda_q \bar{S}_0(q)} \left\{ \frac{q}{2p} \ln \left| \frac{P_0^2 + (q+p)^2}{P_0^2 + (q-p)^2} \right| - \frac{2q^2}{P_0^2 + q^2} \right\}, \quad (14)$$

де $p_0^2 = 2\bar{m}/(\beta\hbar^2)$ $P_0 = p_0\sqrt{(1-\bar{z}_0)}$. В докритичній області активність $\bar{z}_0 = 1$, а тому в цій області $P_0 = 0$ і отримані нами вирази дещо спростяться. Зробимо заміну змінних: $q/p = x$, $dq = p dx$. Тоді

$$\Delta_\infty = \frac{p_0^2 \bar{z}_0 p}{4\pi^2 \beta \rho} \int_0^\infty \frac{\lambda_{px}}{1 + \lambda_{px} \bar{S}_0(px)} \left\{ \frac{x}{2} \ln \left| \frac{P_0^2/p^2 + (x+1)^2}{P_0^2/p^2 + (x-1)^2} \right| - \frac{2x^2}{P_0^2/p^2 + x^2} \right\} dx. \quad (15)$$

Функція $\lambda_{px}/(1 + \lambda_{px} \bar{S}_0(px))$ є обмеженою і прямує до нуля, коли $x \rightarrow \infty$ (при фіксованому p), а функція

$$\frac{x}{2} \ln \left| \frac{P_0^2/p^2 + (x+1)^2}{P_0^2/p^2 + (x-1)^2} \right| - \frac{2x^2}{P_0^2/p_0^2 + x^2}$$

в області $x > 1$ є спадаючою до нуля, причому

$$\int_0^\infty \left\{ \frac{x}{2} \ln \left| \frac{P_0^2/p^2 + (x+1)^2}{P_0^2/p^2 + (x-1)^2} \right| - \frac{2x^2}{P_0^2/p_0^2 + x^2} \right\} dx = 0$$

для будь-яких значень P_0 і p . Це дає підстави стверджувати (особливо, коли йдеться про докритичну область), що при $p \rightarrow 0$ незникаючий внесок у величину Δ_∞/p^2 робить лише область малих значень px підінтегральної функції.

Після цих слів перейдемо до пошуку розкладів величин λ_q і $\bar{S}_0(q)$ в околі нуля хвильового вектора q . Для λ_q отримати результат є зовсім нескладно:

$$\lambda_q = \beta\rho\nu_0 + o(q), \quad (16)$$

де ρ — це густина бозе-системи.

Натомість вигляд розкладу структурного фактора ідеального бозе-газу залежить від того, в якій області температур ми працюємо. В докритичній ($T < T_c$) він має такий вигляд:

$$S_0(q) = \frac{4\bar{m}(1-(T/T_c)^{3/2})}{\beta\hbar^2 q^2} + \frac{\bar{m}^2}{2\rho\hbar^4\beta^2} \frac{1}{q} + 1 + o(q), \quad (17)$$

а в надкритичній такий:

$$S_0(q) = \frac{\bar{m}^2}{\pi\rho\hbar^4\beta^2} \frac{1}{q} \operatorname{arctg} \left(\frac{q}{2P_0} \right) + o(q). \quad (18)$$

Цей результат впливає безпосередньо із виразу для структурного фактора ідеального бозе-газу [26]:

$$\bar{S}_0(q) = 1 + \frac{\bar{m}}{4\pi^2 \rho \beta \hbar^2} \frac{1}{q} \int_0^\infty \frac{p}{\bar{z}_0^{-1} e^{\beta \frac{\hbar^2 q^2}{2\bar{m}}} - 1} \ln \left| \frac{1 - \bar{z}_0 e^{-\beta \frac{\hbar^2 (p+q)^2}{2\bar{m}}}}{1 - \bar{z}_0 e^{-\beta \frac{\hbar^2 (p-q)^2}{2\bar{m}}}} \right| dp. \quad (19)$$

Для аналітичного дослідження виразу (15) ми скористаємося таким наближенням для величин λ_q і $\bar{S}_0(q)$, яке містить лише наведені щойно члени розкладу. Переконалися в адекватності використаних наближень допоможе чисельний аналіз, результати якого наведені на рис. 1 і рис. 2.

Подальше дослідження виразу (15) ми будемо проводити окремо в докритичній і післякритичній області температур, а також в самій критичній точці в силу відмінності підходів, які потрібно застосувати в кожному із згаданих випадків.

3 Розрахунки в докритичній області температур

В докритичній області температур ($T < T_c$) вираз (15) набуде такого вигляду:

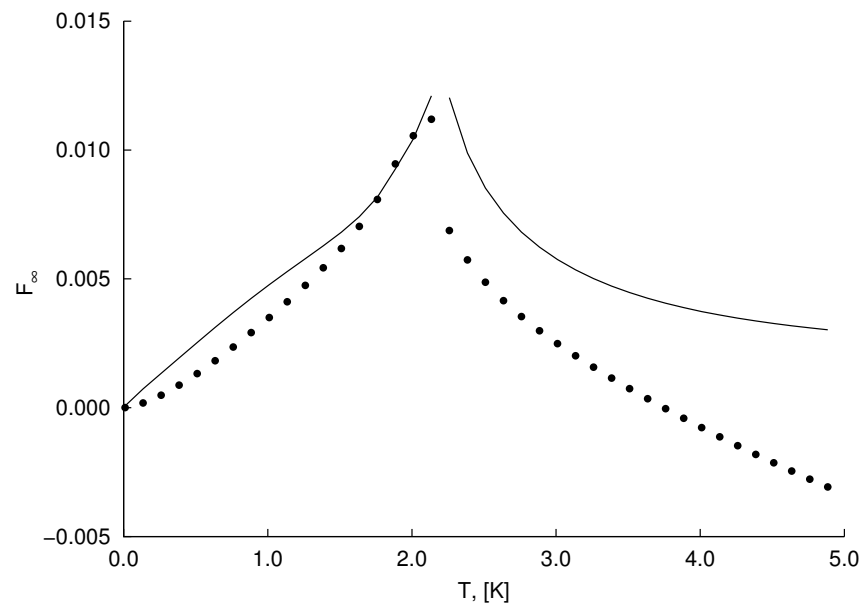


Рис. 1: Залежність величини $F_\infty = \lim_{p \rightarrow 0} \Delta_\infty(p)/\varepsilon_p$ від температури при значенні параметра $p = 0.01$. Крпки — точний вираз, суцільна лінія — прийняте наближення.

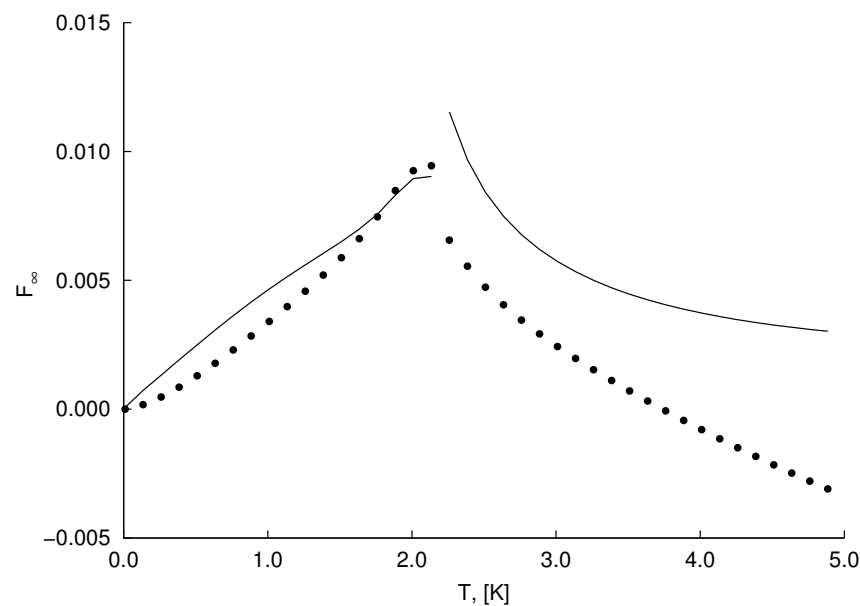


Рис. 2: Залежність величини $F_\infty = \lim_{p \rightarrow 0} \Delta_\infty(p)/\varepsilon_p$ від температури при значенні параметра $p = 0.1$. Крпки — точний вираз, суцільна лінія — прийняте наближення.

$$\Delta_\infty = \frac{p_0^2 \varkappa p^3}{4\pi^2 \beta \rho} \int_0^\infty \frac{x^2 \left(x \ln \left| \frac{x+1}{x-1} \right| - 2 \right) dx}{(1 + \varkappa)x^2 p^2 + \gamma x p + 2n_0 \varkappa} + o(p^2),$$

де

$$\varkappa = \beta \rho \nu_0; \quad \gamma = \frac{\bar{m}^2 \nu_0}{2\hbar^4 \beta}; \quad n_0 = 1 - \left(\frac{T}{T_c} \right)^{\frac{3}{2}}. \quad (20)$$

Далі, скориставшись представленням:

$$x \ln \left| \frac{x+1}{x-1} \right| - 2 = \int_{-1}^1 \frac{x^2 da}{x^2 - a^2} - \int_{-1}^1 da = \int_{-1}^1 \frac{a^2 da}{x^2 - a^2}$$

і змінивши порядок інтегрування, будемо мати:

$$\Delta_\infty = \frac{2\bar{m} \varkappa p^3}{(2\pi\hbar\beta)^2 \rho} \int_{-1}^1 da \int_0^\infty \frac{x^2 a^2 dx}{(x^2 - a^2)[(1 + \varkappa)x^2 p^2 + \gamma x p + 2n_0 \varkappa]} + o(p^2). \quad (21)$$

Знаменник підінтегрального виразу розкладемо на множники, а весь підінтегральний вираз на прості дроби і проведемо елементарне інтегрування по змінній x . Тоді

$$\Delta_\infty = -\frac{p_0^2 \varkappa p}{4\pi^2 \beta \rho (1 + \varkappa)} \int_{-1}^1 a^2 da \left\{ \frac{p^2 a \ln |a|}{2(ap - x_1)(ap - x_2)} - \frac{p^2 a \ln |a|}{2(ap + x_1)(ap + x_2)} + \frac{px_2^2 \ln |x_2/p|}{(a^2 p^2 - x_2^2)(x_1 - x_2)} - \frac{px_1^2 \ln |x_1/p|}{(a^2 p^2 - x_1^2)(x_1 - x_2)} \right\} + o(p^2), \quad (22)$$

де x_1/p і x_2/p — корені квадратного рівняння $(1 + \varkappa)x^2 p^2 + \gamma x p + 2n_0 \varkappa = 0$, причому:

$$x_{1,2} = \frac{-\gamma \pm \sqrt{\gamma^2 - 8n_0(1 + \varkappa)\varkappa}}{2(1 + \varkappa)}. \quad (23)$$

Після відповідних перетворень і інтегрування за змінною a будемо мати, що

$$\Delta_\infty = \frac{p_0^2 \varkappa}{4\pi^2 \beta \rho (1 + \varkappa)} \frac{1}{x_1 - x_2} \left\{ 2(x_2^2 - x_1^2) + \frac{x_2^3}{p^2} \left(\operatorname{dilog} \left[1 + \frac{p}{x_2} \right] - \operatorname{dilog} \left[1 - \frac{p}{x_2} \right] \right) - \frac{x_1^3}{p^2} \left(\operatorname{dilog} \left[1 + \frac{p}{x_1} \right] - \operatorname{dilog} \left[1 - \frac{p}{x_1} \right] \right) + 2x_2^2 \ln |x_2/p| \left(1 - \frac{x_2}{p} \operatorname{arcth} \left[\frac{p}{x_2} \right] \right) - 2x_1^2 \ln |x_1/p| \left(1 - \frac{x_1}{p} \operatorname{arcth} \left[\frac{p}{x_1} \right] \right) \right\}, \quad (24)$$

де $\operatorname{dilog}[x] = \int_1^x \ln(y)/(1-y) dy$.

Проводячи розклад за p отриманого виразу, ми знайдемо, що доданки пропорційні до p^2 походять виключно з останніх двох доданків у фігурних дужках. В результаті будемо мати:

$$\Delta_\infty = \frac{p_0^2 \varkappa}{3\pi^2 \beta \rho (1 + \varkappa)} \frac{\ln |x_1/x_2|}{(x_1 - x_2)} p^2 + o(p^2). \quad (25)$$

При наближенні до критичної точки один з коренів, скажімо x_2 , прямує до нуля і ми отримуємо логарифмічну розбіжність для величини Δ_∞ в околі критичної точки. Як в цьому випадку бути з ефективною масою? Повертаючись до аналізу виразів для x_1 і x_2 , ми прийдемо до висновку, що існує значення температури T_F , при якій величини x_1 і x_2 стають дійсними. Це, в свою чергу, приводить до того, що функція $\operatorname{arcth}(p/x_2)$ перестає бути обмеженою в області температур між T_F і T_c та прямує до безмежності при наближенні до критичної точки. Поки величина x_2 залишається комплексною, функцію арктангенса гіперболічного можна виразити через арктангенс тригонометричний, який, в свою чергу, є обмеженою функцією. Температуру T_F можна легко знайти, прирівнявши до нуля дискримінант наведеного вище квадратного рівняння. Його чисельний розв'язок відносно температури дає значення $T_F \approx 2.13\text{К}$ при критичній температурі $T_c \approx 2.18\text{К}$. Як бачимо, це є дуже вузька область, яку ми можемо інтерпретувати, як флуктуаційну, тобто таку, в якій флуктуації величини бозеконденсату стають співмірними з кількістю самого конденсату. Про неї також можна говорити як про область, аналогічну до області Гінзбурга, де перетурбативний метод розрахунку не працює. Так чи інакше, в цій вузькій області ми не можемо зробити жодних коректних висновків про ефективну масу в межах нашого підходу. Для аналізу цієї області потрібні інші методи, наприклад ренормгруповий підхід. Внесок Δ_∞ у значення ефективної маси до температури T_F є дуже незначним, в чому можна впевнитися завдяки чисельному аналізу. Аналітичний вигляд цього внеску у праву частину рівності (11) є такий:

$$\frac{p_0^4 \varkappa}{6\pi^2 \rho (1 + \varkappa)} \frac{\ln |x_1/x_2|}{(x_1 - x_2)}. \quad (26)$$

4 Розрахунки в критичній точці

Щоб з'ясувати характер розбіжності величини Δ_∞/p^2 як функції p в критичній точці, проведемо розрахунок безпосередньо в ній. Повернемося до формули (21) і покладемо в ній $T = T_c$, що означає $n_0 = 0$. Тоді

$$\Delta_\infty = \frac{p_0^2 \varkappa p^2}{2\pi^2 \beta \rho} \int_0^1 da \int_0^\infty \frac{xa^2 dx}{(x^2 - a^2)[(1 + \varkappa)xp + \gamma]} + o(p^2). \quad (27)$$

Знову розкладемо знаменник підінтегрального виразу на множники, а сам вираз — на прості дроби і проінтегруємо за змінною x . В результаті отримаємо:

$$\Delta_\infty = \frac{p_0^2 \varkappa p^2}{2\pi^2 \beta \rho (1 + \varkappa)} \int_0^1 \frac{a^2 x_0 \ln |a/x_0|}{a^2 p^2 - x_0^2} da + o(p^2),$$

де x_0/p — корінь рівняння $(1 + \varkappa)xp + \gamma = 0$, причому: $x_0 = -\gamma/(1 + \varkappa)$. У написаному вище інтегралі зробимо заміну змінних $a/|x_0| = \xi$. Тоді

$$\Delta_\infty = \frac{p_0^2 \varkappa x_0^2 p}{2\pi^2 \beta \rho (1 + \varkappa)} \int_0^{1/|x_0|} \frac{\xi^2 \ln \xi}{\xi^2 - 1} + o(p^2) = -\frac{p_0^2 \varkappa x_0^2 p}{2\pi^2 \beta \rho (1 + \varkappa)} \int_0^{1/|x_0|} \xi^2 \ln \xi d\xi + o(p^2), \quad (28)$$

оскільки $1/|x_0| \sim p$, $p \rightarrow 0$. В результаті отримаємо:

$$\Delta_\infty = \frac{p_0^2 \varkappa p^2}{18\pi^2 \beta \rho (1 + \varkappa) |x_0|} \left(1 - 3 \ln \left| \frac{p}{x_0} \right| \right) + o(p^2).$$

Отож ми показали, що величина Δ_∞/p^2 в критичній точці розбігається як $\ln |p|$, $p \rightarrow 0$. Така розбіжність є характерною для критичних явищ. Її можна трактувати як наслідок розкладу одночастинкового спектру бозе-рідини в критичній точці:

$$\frac{\hbar^2 \tilde{p}^2}{2\tilde{m}} \left(\frac{p}{\tilde{p}} \right)^{2-\eta} = \frac{\hbar^2 \tilde{p}^2}{2\tilde{m}} \left(\frac{p}{\tilde{p}} \right)^2 e^{-\eta \ln(p/\tilde{p})} = \frac{\hbar^2 p^2}{2\tilde{m}} \left(1 - \eta \ln \left(\frac{p}{\tilde{p}} \right) \right) + o(\eta), \quad (29)$$

де η — це критичний індекс, \tilde{p} — характерний масштаб хвильового вектора в околі критичної точки. Беручи до уваги, що в критичній точці єдиний незникаючий внесок в одночастинковий спектр бозе-рідини дає величина Δ_∞ , ми отримаємо рівняння, з якого можемо знайти η і \tilde{p} :

$$\frac{p_0^2 \varkappa p^2}{18\pi^2 \beta \rho (1 + \varkappa) |x_0|} \left(1 - 3 \ln \left| \frac{p}{x_0} \right| \right) = \frac{p^2}{p_0^2 \beta} \left(1 - \eta \ln \left(\frac{p}{\tilde{p}} \right) \right). \quad (30)$$

Звідси: $\eta = \frac{4}{3\pi^2} \approx 0.135$, $\tilde{p} = |x_0| \exp\left(\frac{\eta-3}{3\eta}\right) \approx 1.68 \cdot 10^{-3} \text{ \AA}^{-1}$.

Результат для критичного індекса η вперше отриманий в роботах [28, 29], де для розрахунків використовувався метод розкладу за оберненими степенями вимірності параметра порядку. Наближення хаотичних фаз відтворює лише перший член цього розкладу, а тому й не дивно, що результат для малого критичного індекса відрізняється від результату Монте Карло симуляцій [30].

5 Розрахунки при температурах, вищих за критичну

При температурах вищих за критичну величина (15) набуде вигляду:

$$\Delta_\infty = \frac{p_0^2 \tilde{z}_0 \varkappa}{4\pi^2 \beta \rho} \int_0^\infty \frac{qdq}{q + \tilde{\gamma} \arctg\left(\frac{q}{2P_0}\right)} \left\{ \frac{q}{2p} \ln \left| \frac{P_0^2 + (q+p)^2}{P_0^2 + (q-p)^2} \right| - \frac{2q^2}{P_0^2 + q^2} \right\}, \quad (31)$$

де $\tilde{\gamma} = 2\gamma/\pi$. Спочатку продиференціювавши, а потім проінтегрувавши за параметром p отриманий вираз, а також змінивши порядок інтегрування, будемо мати:

$$\Delta_{\infty} = \frac{p_0^2 \bar{z}_0 \varkappa}{4\pi^2 \beta \rho} \frac{1}{p} \int_0^p dp \int_0^{\infty} \frac{q dq}{q + \tilde{\gamma} \operatorname{arctg}\left(\frac{q}{2P_0}\right)} \times \frac{2qp^2(q^2 - p^2 - 3P_0^2)}{[P_0^2 + (p+q)^2][P_0^2 + (p-q)^2][P_0^2 + q^2]}. \quad (32)$$

Щоб порахувати написаний вище інтеграл, симетризуємо межі інтегрування за q , а потім зробимо аналітичне продовження підінтегральної функції у верхню півплощину і замкнемо контур інтегрування півколом радіуса R . В границі $R \rightarrow \infty$ інтеграл за півколом R дає нуль в силу того, що степінь знаменника підінтегральної функції на дві одиниці вищий за степінь чисельника. В результаті наш інтеграл дорівнює сумі лишків аналітичного продовження підінтегральної функції у верхню півплощину помноженій на $2\pi i$. У цю півплощину потрапляє лише три особливі точки підінтегральної функції: $q = p + iP_0$; $q = -p + iP_0$; $q = iP_0$. Принагідно зауважимо, що знаменник дробу, який містить функцію арктангенса не перетворюється в нуль в жодній точці комплексної площини. В результаті розрахунків отримаємо:

$$\Delta_{\infty} = \frac{p_0^2 \bar{z}_0 \varkappa}{4\pi^2 \beta \rho} \frac{\pi i}{2p} \int_0^p dp \left(\frac{2P_0^2}{iP_0 + \tilde{\gamma} \operatorname{arctg}(i/2)} + \frac{(-p + iP_0)^2}{-p + iP_0 + \tilde{\gamma} \operatorname{arctg}\left(-\frac{p}{2P_0} + \frac{i}{2}\right)} + \frac{(p + iP_0)^2}{p + iP_0 + \tilde{\gamma} \operatorname{arctg}\left(\frac{p}{2P_0} + \frac{i}{2}\right)} \right). \quad (33)$$

Не вдаючись в деталі доволі простих перетворень, запишемо кінцевий результат для Δ_{∞} :

$$\Delta_{\infty} = -\frac{2\pi}{p} \int_0^p dp \left\{ \frac{(f_2 + P_0)(p^2 - P_0^2) - 2pP_0(f_1 + p)}{(f_1 + p)^2 + (f_2 + P_0)^2} + \frac{P_0^2}{P_0 + \tilde{\gamma} \ln(3)/2} \right\}, \quad (34)$$

де

$$f_1 = \frac{\tilde{\gamma}}{2} \operatorname{arctg}\left(\frac{4pP_0}{3P_0^2 - p^2}\right),$$

$$f_2 = -\frac{\tilde{\gamma}}{2} \ln\left(\frac{\sqrt{(3P_0^2 - p^2)^2 + 16p^2P_0^2}}{9P_0^2 + p^2}\right). \quad (35)$$

В отриманому виразі проведемо розклад за малим параметром p і збережемо лише доданки пропорційні до p^2 . В результаті будемо мати:

$$\Delta_{\infty} = -\frac{p_0^2 \bar{z}_0 \varkappa \tilde{\gamma}}{27\pi \beta \rho} \frac{(-9\tilde{\gamma} \ln^2(3) + 8P_0 + 28\tilde{\gamma} \ln(3) - 16\tilde{\gamma})}{(2P_0 + \tilde{\gamma} \ln(3))^3} p^2 + o(p^2). \quad (36)$$

Відповідно внесок у праву частину рівності (11) є таким:

$$-\frac{p_0^4 \bar{z}_0 \varkappa \tilde{\gamma}}{27\pi \rho} \frac{(-9\tilde{\gamma} \ln^2(3) + 8P_0 + 28\tilde{\gamma} \ln(3) - 16\tilde{\gamma})}{(2P_0 + \tilde{\gamma} \ln(3))^3}. \quad (37)$$

За допомогою чисельного аналізу можна переконатися у малості цієї величини, а тому її внеском у ефективну масу можна також знехтувати.

6 Аналітичний вираз для ефективної маси

Беручи до уваги, що величина Δ_{∞} дає незначний вклад у значення ефективної маси (що було показано вище) і повертаючись до схеми розрахунку, наведеної в роботі [24], для ефективної маси отримаємо такий вираз:

$$\bar{m} = \frac{m^*}{(1 + F(T))}, \quad (38)$$

де

$$F(T) = \lim_{p \rightarrow 0} \frac{1}{N\beta\varepsilon_p} \sum_{q \neq 0} \frac{\lambda_q}{1 + \lambda_q \bar{S}_0(q)} (e^{\mathbf{P}\nabla_q} - 1) \left(\bar{n}_q - \frac{1}{\bar{z}_0^{-1}(\beta\bar{\varepsilon}_q + 1 - \bar{z}_0)} \right), \quad (39)$$

∇_q —оператор градієнту.

Розкладемо в ряд оператор $e^{\mathbf{P}\nabla_q}$, обмежившись першими трьома членами розкладу, оскільки саме вони дають необхідне нам наближення. Зробивши після цього нескладні перетворення, перейшовши від підсумовування до інтегрування і врахувавши зміст позначень p_0 і P_0 , для величини $F(T)$ будемо мати такий вираз:

$$F(T) = \frac{1}{2\pi^2\rho} \int_0^\infty \frac{\lambda_q q^2 dq}{1 + \lambda_q \bar{S}_0(q)} \left(\bar{n}_q(1 + \bar{n}_q) \left[\frac{2}{3}\beta\varepsilon_q(1 + 2\bar{n}_q) - 1 \right] - \frac{\bar{z}_0(\beta\bar{\varepsilon}_q - 3 + 3\bar{z}_0)}{3(\beta\bar{\varepsilon}_q + 1 - \bar{z}_0)^3} \right). \quad (40)$$

Безпосередньою перевіркою легко переконатися, що в границі як низьких так і високих температур функція $F(T)$ рівна нулю, а тому в цих границях $\bar{m} = m^*$. Користуючись результатами роботи [25], знайдемо, що $\lim_{T \rightarrow 0} \bar{m} \approx 1.7m$, а $\lim_{T \rightarrow \infty} \bar{m} = m$.

7 Чисельний розрахунок ефективної маси і теплоємності

Щоб проілюструвати отриманий результат, потрібно подати його в графічному вигляді. Для цього необхідно провести чисельний розрахунок відношення \bar{m}/m , який вимагає самоузгодженого підходу, оскільки вираз для \bar{m} містить в собі величини $\bar{S}_0(q)$, $\bar{\varepsilon}_q$, \bar{n}_q , які в свою чергу залежать від \bar{m} . На практиці це означає здійснення ітераційного процесу, який у нашому випадку зводиться до 3-4 ітерацій.

Обчислення проводимо при рівноважній густині гелію $\rho = 0.02185 \text{ \AA}^{-3}$, масі частинок $m = 4.0026$ а.о.м., швидкості звуку $c = 238.2$ м/с у границі $T \rightarrow 0$ [32]. Як вихідну інформацію, замість коефіцієнта Фур'є енергії парної взаємодії між частинками ν_q , використовуємо експериментально вимірюваний структурний фактор $S^{\text{exp}}(q)$ рідкого ^4He , екстрапольований до температури $T \rightarrow 0$ з роботи [33].

На (рис. 3) подана температурна залежність ефективної маси атома ^4He в наближенні парних міжчастинкових кореляцій. Отримавши її, ми за відомою формулою [34] розраховали також температуру бозе-конденсації в рідкому ^4He і здобули значення $T_c \approx 2.18$ К, що є дуже близьким до експериментального $T_c = 2.168$ К.

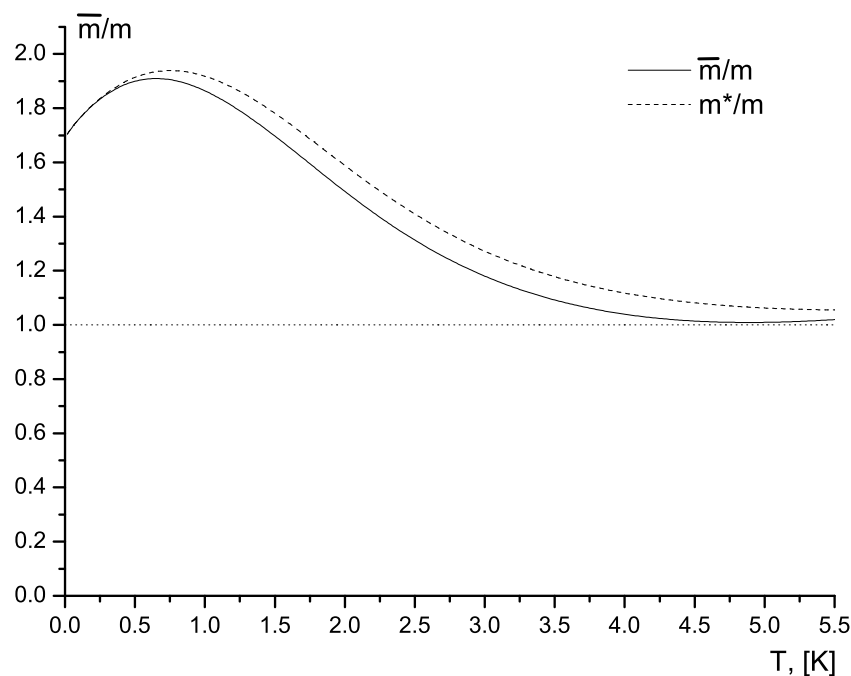


Рис. 3: Температурна залежність ефективної маси атома ^4He .

Для розрахунку теплоємності ми скористалися виразом для внутрішньої енергії багатобозонної системи в наближенні парних кореляцій (1), чисельно продиференціювавши його по температурі. На (рис. 4) наведено графік температурної залежності теплоємності з урахуванням ефективної маси.

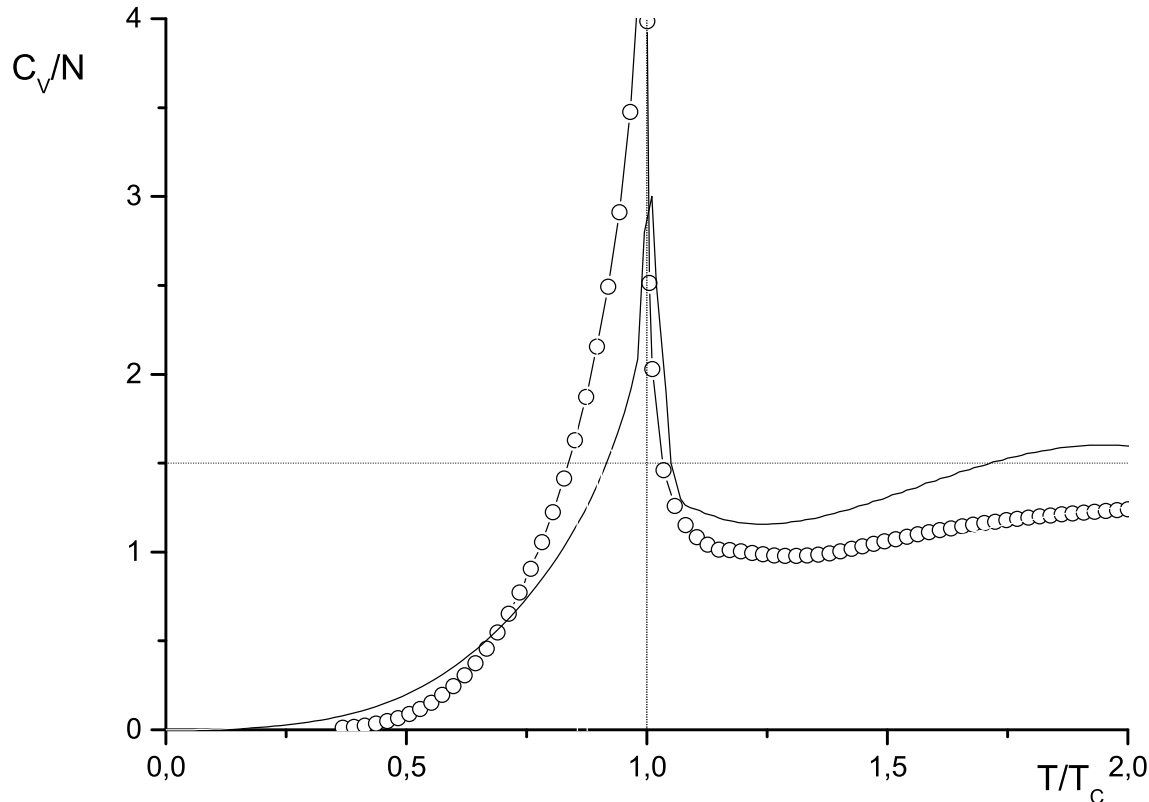


Рис. 4: Температурна залежність теплоємності рідкого ^4He . Суцільна крива — теоретичний результат з урахуванням ефективної маси, кружечки — експериментальні дані.

8 Висновок

В роботі знайдено вираз для температурної залежності ефективної маси атома ^4He (як у нормальній так і надплинній фазі), яка дає можливість усунути інфрачервоні розбіжності, що є характерними для критичних явищ. Вираз для ефективної маси застосовний при всіх температурах, окрім вузької флуктуаційної області, яка розпочинається з температури $T_F \approx 2.13$ і закінчується температурою фазового переходу. В границі високих температур ефективна маса переходить у “голу” масу атома ^4He . Це саме відбувається і при “виключенні” міжчастинкової взаємодії. В границі низьких температур ми отримуємо значення, яке збігається зі значенням ефективної маси домішкового атома ^3He в рідині ^4He при заміні “голої” маси ^3He на масу ^4He [18]. В цьому контексті зауважимо, що немає єдиної думки про значення ефективної маси навіть в нулі температур, не кажучи вже про широкотемпературну область, оскільки саме введення цієї величини є феноменологічним моментом і великою мірою залежить від застосованих підходів для її розрахунку [15, 16, 17].

Теоретично розрахований хід кривої теплоємності з урахуванням ефективної маси значно краще узгоджується з експериментом, зокрема в надкритичній області, ніж без її урахування [31]. Крім того, в порівнянні з “затравочною” масою, отримана нами ефективна маса дає краще узгодження з експериментом для теплоємності у області шириною приблизно 0.5K над точкою фазового переходу [25].

З допомогою ефективної маси вдалося зсунути точку фазового переходу від значення для ідеального газу до температури $T_c \approx 2.18$, що, як уже зазначалося, є дуже близьким до експериментального. “Затравочна” маса

в цьому випадку дає $T_c \approx 1.94$ [25].

Запропонований в цій роботі підхід дозволив також знайти критичний індекс η в наближенні хаотичних фаз. Він доволі сильно відрізняється від сучасного значення [30], але водночас відтворює вже відомий результат цього наближення [28].

Література

- [1] F. London, Phys. Rev. **54**, 947 (1938).
- [2] Э. Я. Пашицкий, ФНТ **25**, 115 (1999).
- [3] F. Dalfovo *et al.*, Rev. Mod. Phys. **71**, 463 (1999).
- [4] I. Bloch, J. Dalibard, W. Zwerger, Rev. Mod. Phys. **80**, 885 (2008).
- [5] R. P. Feynman, Phys. Rev. **91**, 1291 (1953).
- [6] P. Pieri, G. C. Strinati, I. Tifrea, Euro. Phys. J. B **22**, 79 (2001).
- [7] H. T. C. Stoof, Phys. Rev. A **45**, 8398 (1992).
- [8] G. Baym *et al.*, Phys. Rev. Lett. **83**, 1703 (1999).
- [9] M. Holzmann, W. Krauth, Phys. Rev. Lett. **83**, 2687 (1999).
- [10] P. Arnold, G. Moore, B. Tomašik, Phys. Rev. A **65**, 013606 (2002).
- [11] B. Kastening, Phys. Rev. A **69**, 043613 (2004).
- [12] V. A. Kashurnikov, N. V. Prokof'ev, B. V. Svistunov, Phys. Rev. Lett. **87**, 120402 (2001).
- [13] P. Arnold, G. Moore, Phys. Rev. Lett. **87**, 120401 (2001).
- [14] J. D. Reppy *et al.*, Phys. Rev. Lett. **84**, 2060 (2000).
- [15] A. Isihara, T. Samulski, Phys. Rev. B **16**, 1969 (1977).
- [16] I. O. Вакарчук, Вісн. Львів. ун-ту. Сер. фіз. **26**, 29 (1993).
- [17] A. A. Rovenchak, Fiz. Nizk. Temp. **29**, 145 (2003).
- [18] I. O. Вакарчук, Журн. фіз. досл. **1**, 25 (1996).
- [19] I. O. Vakarchuk, J. Phys. Stud. **1**, 156 (1997).
- [20] M. L. Ristig, T. Lindenau, M. Serhan, J. W. Clark, J. Low Temp. Phys. **114**, 317 (1999).
- [21] T. Lindenau, M. L. Ristig, J. W. Clark, K. A. Gernoth, J. Low Temp. Phys. **129**, 143 (2002).
- [22] K. A. Gernoth, M. Serhan, M. L. Ristig, Phys. Rev. B **78**, 054513 (2008).
- [23] K. A. Gernoth, M. L. Ristig, Int. J. Mod. Phys. B **23**, 4096 (2009).
- [24] I. O. Вакарчук, Р. О. Пригула, Журн. фіз. досл. **12**, 4001 (2008).
- [25] I. O. Vakarchuk, V. S. Pastukhov, R. O. Prytula, Ukr. Phys. J. **57**, 1214 (2012).

- [26] I. O. Vakarchuk, J. Phys. Stud. **8**, 223 (2004).
- [27] I. O. Vakarchuk, Theor. Math. Phys. **154**, 9 (2008).
- [28] R. A. Ferrell, D. J. Scalapino, Phys. Lett. A **41**, 371 (1972); Phys. Rev. Lett. **29**, 413 (1972).
- [29] R. Abe, Prog. Theor. Phys. **49**, 1877 (1973).
- [30] M. Campostrini, *et al.*, Phys. Rev. B **74**, 144506 (2006).
- [31] I. O. Вакарчук, Р. О. Пригула, Журн. фіз. досл. **11**, 259 (2007).
- [32] R. J. Donnelly, C. F. Barenghi, J. Phys. Chem. Ref. Data. **27**, 1217 (1998).
- [33] I. O. Vakarchuk, V. V. Babin, A. A. Rovenchak. J. Phys. Stud. **4**, 16 (2000).
- [34] I. Вакарчук, *Вступ до проблеми багатьох тіл* (Львівський національний університет імені Івана Франка, Львів, 1999).